



УКРАЇНА

(19) UA (11) 158182 (13) U  
(51) МПК (2024.01)  
G01K 13/00

НАЦІОНАЛЬНИЙ ОРГАН  
ІНТЕЛЕКТУАЛЬНОЇ ВЛАСНОСТІ  
ДЕРЖАВНА ОРГАНІЗАЦІЯ  
"УКРАЇНСЬКИЙ НАЦІОНАЛЬНИЙ  
ОФІС ІНТЕЛЕКТУАЛЬНОЇ  
ВЛАСНОСТІ ТА ІННОВАЦІЙ"

## (12) ОПИС ДО ПАТЕНТУ НА КОРИСНУ МОДЕЛЬ

(21) Номер заявики:	у 2024 01875	(72) Винахідник(и):	Грабко Володимир Віталійович (UA), Чорний Олексій Петрович (UA), Грабко Валентин Володимирович (UA), Мошноріз Микола Миколайович (UA)
(22) Дата подання заявики:	10.04.2024	(73) Володілець (володільці):	<b>ВІННИЦЬКИЙ НАЦІОНАЛЬНИЙ ТЕХНІЧНИЙ УНІВЕРСИТЕТ,</b> вул. Хмельницьке шосе, 95, м. Вінниця, 21021 (UA)
(24) Дата, з якої є чинними права інтелектуальної власності:	09.01.2025		
(46) Публікація відомостей про державну реєстрацію:	08.01.2025, Бюл.№ 2		

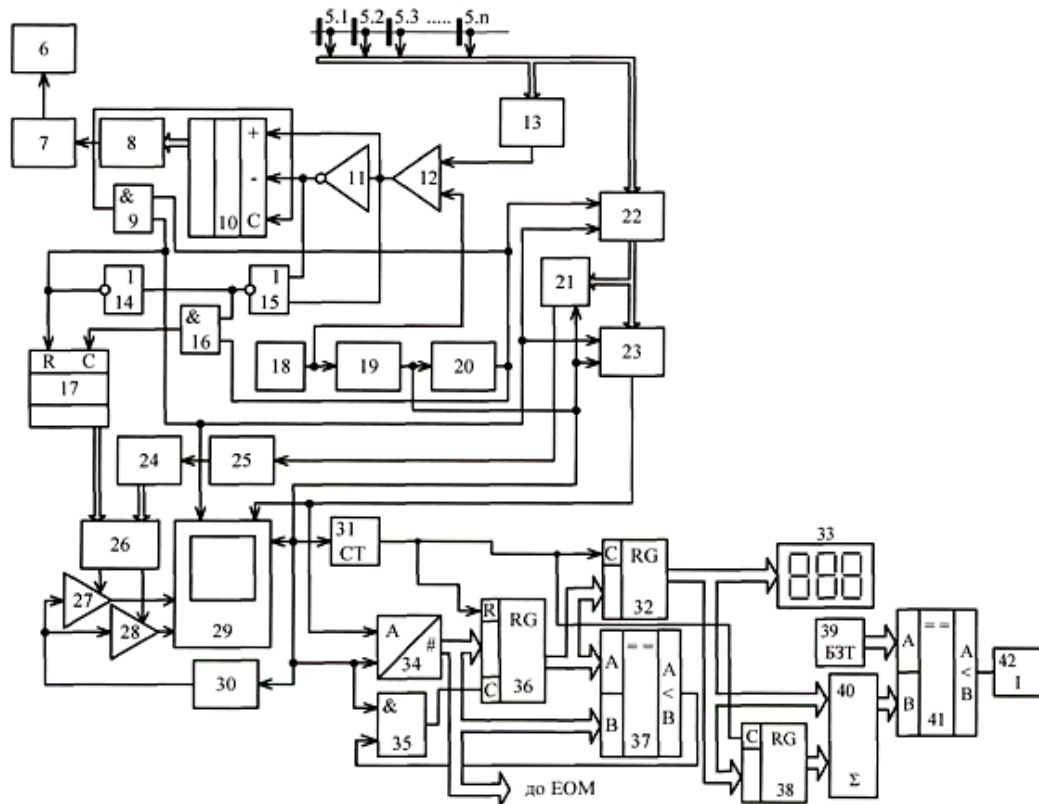
## (54) ПРИСТРІЙ ДЛЯ БЕЗКОНТАКТНОГО ВИМІРЮВАННЯ ТЕМПЕРАТУРИ

### (57) Реферат:

Пристрій для безконтактного вимірювання температури, що містить об'єктив, діафрагму, отвір якої являє собою сектор з вершиною на оптичній осі, дзеркало, виконане у вигляді конуса. Прямолінійні твірні бокової конусної поверхні якого утворюють кут при вершині, менший ніж 90°, а прямолінійні твірні центральної конусної поверхні утворюють кут при вершині 90°. Інфрачервоний приймач являє собою набір інфрачервоних сенсорів, розташованих на головній оптичній осі один за одним, приймальні площини яких перпендикулярні головній оптичній осі, кроховий двигун, два перетворювачі напруга-частота, цифро-аналоговий перетворювач, три елементи I, реверсивний лічильник, інвертор, компаратор, перетворювач частота-напруга, елемент H1, елемент АБО-Н1, два лічильники, джерело опорної напруги, дільник частоти, блок обробки сигналу, буферний регистр, комутатор, два аналого-цифрові перетворювачі, блок обчислень, постійний запам'ятовуючий блок, два керуючі підсилювачі, відеоконтрольний блок, генератор напруги, що змінюється ступінчасто, два реєстри. Перший цифровий компаратор та цифровий індикатор. Виходи п інфрачервоних сенсорів інфрачервоного приймача з'єднані з вхідними шинами буферного реєстра та перетворювача частота-напруга. Вихідна шина реверсивного лічильника підключена до вхідної шини цифро-аналогового перетворювача, вихід якого з'єднаний з входом другого перетворювача напруга-частота, вихід якого підключений до крохового двигуна, вал якого зв'язаний з діафрагмою. Вихід джерела опорної напруги підключений до входу першого перетворювача напруга-частота, вихід якого з'єднаний з іншими вхідами відеоконтрольного блока та другого аналого-цифрового перетворювача, з першим входом комутатора та з вхідами генератора напруги, що змінюється ступінчасто, та дільника частоти, вихід якого підключений до перших входів першого елемента I та буферного реєстра. Вихід першого елемента I з'єднаний з першим входом першого лічильника, другий вихід якого підключений до виходу елемента H1, перший вихід другого елемента I з'єднаний з вхідом елемента H1, вихід якого підключений до п'ятого входу відеоконтрольного блока та до інших вхідів комутатора та буферного реєстра, вихідна шина якого з'єднана з вхідною шиною комутатора, вихід якого підключений до перших входів відеоконтрольного блока та другого аналого-цифрового перетворювача, вихідна шина першого лічильника з'єднана з першою вхідною шиною постійно запам'ятовуючого блока, перший і другий вихід якого підключені, відповідно, до інших вхідів першого і другого керуючих підсилювачів, перші вхіди яких з'єднані з вихідом генератора напруги, що змінюється ступінчасто. Виходи підключені, відповідно, до третього і четвертого вхідів відеоконтрольного блока, вихід другого елемента I з'єднаний з третім вхідом реверсивного лічильника. Вихідна шина буферного реєстра

UA 158182 U

підключена до вхідної шини блока обробки сигналу, вихід якого з'єднаний з входом блока обчислення, вихід якого підключений до входу першого аналого-цифрового перетворювача, вихідна шина якого з'єднана з другою вхідною шиною постійно запам'ятовуючого блока, вихід першого перетворювача напруга-частота підключений до входу блока обробки сигналу, вихід перетворювача частота-напруга з'єднаний з першим входом компаратора, другий вхід якого підключений до виходу джерела опорної напруги, а вихід з'єднаний з першими входами реверсивного лічильника, елемента АБО-НІ та з входом інвертора, вихід якого підключений до других входів реверсивного лічильника та елемента АБО-НІ, вихід якого з'єднаний з другим входом першого елемента I та з входом елемента НІ. Вихід дільника частоти підключений до другого входу другого елемента I, вихідна цифрова шина другого аналого-цифрового перетворювача з'єднана з вхідною цифровою шиною першого регістра, вихідна цифрова шина якого підключена до вхідної цифрової шини другого регістра та до першої вхідної цифрової шини першого цифрового компаратора, друга вхідна цифрова шина якого з'єднана з вхідною цифровою шиною другого аналого-цифрового перетворювача, а вихід підключений до другого входу третього елемента I, перший вхід якого разом з входом другого лічильника з'єднані з виходом перетворювача напруга-частота, вихід третього елемента I підключений до першого входу першого регістра, вихід другого регістра підключений до первого виходу другого лічильника, вихідна цифрова шина другого регістра з'єднана з вхідною цифровою шиною цифрового індикатора, вихідна цифрова шина другого аналого-цифрового перетворювача підключена до ЕОМ. Введено третій регістр, цифровий суматор, блок задання температури, індикатор та другий цифровий компаратор. Вихідна цифрова шина другого регістра з'єднана з першою вхідною цифровою шиною цифрового суматора та зі вхідною цифровою шиною третього регістра, вихідна цифрова шина якого підключена до другої вхідної цифрової шини цифрового суматора, вихідна цифрова шина якого з'єднана з другою вхідною цифровою шиною другого цифрового компаратора, перша вхідна цифрова шина якого підключена до вихідної цифрової шини блока задання температури. Вихід з'єднаний зі входом індикатора. Вхід третього регістра підключений до первого виходу другого лічильника, другий вхід якого з'єднаний з другим входом першого регістра.



Фіг. 2

Корисна модель належить до безконтактної термометрії і може бути використана для вимірювання температури нерухомих об'єктів або об'єктів, що обертаються, зокрема потужних електричних машин.

Відомий пристрій для безконтактного вимірювання температури (Патент України № 20999, МПК G01K 13/00, бюл. № 2, 2007), що містить об'єктив, діафрагму, отвір якої являє собою сектор з вершиною на оптичній осі, дзеркало, виконане у вигляді конуса, прямолінійні твірні бокової конусної поверхні якого утворюють кут при вершині, менший ніж  $90^\circ$ , а прямолінійні твірні центральної конусної поверхні утворюють кут при вершині  $90^\circ$ , інфрачервоний (ІЧ) приймач, що являє собою набір ІЧ-сенсорів, розташованих на головній оптичній осі один за одним, приймальні площини яких перпендикулярні головній оптичній осі, кроковий двигун, два перетворювачі напруга-частота, цифро-аналоговий перетворювач (ЦАП), два елементи I, реверсивний лічильник, інвертор, компаратор, перетворювач частота-напруга, елемент HI, елемент АБО-HI, лічильник, джерело опорної напруги, дільник частоти, блок обробки сигналу, буферний реєстр, комутатор, два аналогово-цифрові перетворювачі (АЦП), блок обчислень, постійний запам'ятовуючий блок (ПЗБ), два керуючі підсилювачі, відеоконтрольний блок (ВКБ), генератор напруги, що змінюється ступінчасто, інтерфейсний блок, причому виходи п ІЧ-сенсорів ІЧ-приймача з'єднані з вхідними шинами буферного реєстра та перетворювача частота-напруга, вихідна шина реверсивного лічильника підключена до вхідної шини ЦАП, вихід якого з'єднаний з входом другого перетворювача напруга-частота, вихід якого підключений до крокового двигуна, вал якого зв'язаний з діафрагмою, вихід джерела опорної напруги підключений до входу першого перетворювача напруга-частота, вихід якого з'єднаний з другими входами ВКБ та другого АЦП, з першим входом комутатора та з входами інтерфейсного блока, генератора напруги, що змінюється ступінчасто, та дільника частоти, вихід якого підключений до перших входів першого елемента I та буферного реєстра, вихід першого елемента I з'єднаний з першим входом лічильника, другий вхід якого підключений до виходу елемента HI, перший вхід другого елемента I з'єднаний з виходом елемента HI, вихід якого підключений до п'ятого входу ВКБ та до других входів комутатора та буферного реєстра, вихідна шина якого з'єднана з вхідною шиною комутатора, вихід якого підключений до перших входів ВКБ та другого АЦП, вихідна шина якого з'єднана з вхідною шиною інтерфейсного блока, вихідна шина якого підключена до кіл ЕОМ, вихідна шина лічильника з'єднана з першою вхідною шиною ПЗБ, перший і другий виходи якого підключенні, відповідно, до других входів першого і другого керуючих підсилювачів, перші входи яких з'єднані з виходом генератора напруги, що змінюється ступінчасто, а виходи підключенні, відповідно, до третього і четвертого входів ВКБ, вихід другого елемента I з'єднаний з третім входом реверсивного лічильника, вихідна шина буферного реєстра підключена до вхідної шини блока обробки сигналу, вихід якого з'єднаний з входом блока обчислень, вихід якого підключений до входу першого АЦП, вихідна шина якого з'єднана з другою вхідною шиною ПЗБ, вихід першого перетворювача напруга-частота підключений до входу блока обробки сигналу, вихід перетворювача частота-напруга з'єднаний з першим входом компаратора, другий вхід якого підключений до виходу джерела опорної напруги, а вихід з'єднаний з першими входами реверсивного лічильника, елемента АБО-HI та з входом інвертора, вихід якого підключений до других входів реверсивного лічильника та елемента АБО-HI, вихід якого з'єднаний з другим входом першого елемента I та з входом елемента HI, вихід дільника частоти підключений до другого входу другого елемента I.

Головним недоліком даного пристрою є те, що він не дозволяє визначати швидкість зростання температури в точці з найбільшим значенням температури досліджуваного об'єкта, що звужує функціональні можливості пристрою в задачі спостереження за станом об'єкта.

За найближчим аналогом вибрано пристрій для безконтактного вимірювання температури (Патент України № 153906, МПК G01K 13/00, бюл. № 37, 2023), що містить об'єктив, діафрагму, отвір якої являє собою сектор з вершиною на оптичній осі, дзеркало, виконане у вигляді конуса, прямолінійні твірні бокової конусної поверхні якого утворюють кут при вершині, менший ніж  $90^\circ$ , а прямолінійні твірні центральної конусної поверхні утворюють кут при вершині  $90^\circ$ , ІЧ-приймач, що являє собою набір ІЧ-сенсорів, розташованих на головній оптичній осі один за одним, приймальні площини яких перпендикулярні головній оптичній осі, кроковий двигун, два перетворювачі напруга-частота, ЦАП, три елементи I, реверсивний лічильник, інвертор, компаратор, перетворювач частота-напруга, елемент HI, елемент АБО-HI, два лічильники, джерело опорної напруги, дільник частоти, блок обробки сигналу, буферний реєстр, комутатор, два АЦП, блок обчислень, ПЗБ, два керуючі підсилювачі, ВКБ, генератор напруги, що змінюється ступінчасто, формувач сигналу, два реєстри, цифровий компаратор (в подальшому - перший цифровий компаратор) та цифровий індикатор, причому виходи п ІЧ-сенсорів ІЧ-приймача з'єднані з вхідними шинами буферного реєстра та перетворювача частота-напруга,

вихідна шина реверсивного лічильника підключена до вхідної шини ЦАП, вихід якого з'єднаний з входом другого перетворювача напруга-частота, вихід якого підключений до крокового двигуна, вал якого зв'язаний з діафрагмою, вихід джерела опорної напруги підключений до входу першого перетворювача напруга-частота, вихід якого з'єднаний з другими входами ВКБ та другого АЦП, з першим входом комутатора та з входами генератора напруги, що змінюються ступінчасто, та дільника частоти, вихід якого підключений до перших входів першого елемента I та буферного реєстра, вихід першого елемента I з'єднаний з першим входом першого лічильника, другий вхід якого підключений до виходу елемента HI, перший вхід другого елемента I з'єднаний з виходом елемента HI, вихід якого підключений до п'ятого входу ВКБ та до других входів комутатора та буферного реєстра, вихідна шина якого з'єднана з вхідною шиною комутатора, вихід якого підключений до перших входів ВКБ та другого АЦП, вихідна шина першого лічильника з'єднана з першою вхідною шиною ПЗБ, перший і другий виходи якого підключенні, відповідно, до других входів першого і другого керуючих підсилювачів, перші входи яких з'єднані з виходом генератора напруги, що змінюються ступінчасто, а виходи підключенні, відповідно, до третього і четвертого входів ВКБ, вихід другого елемента I з'єднаний з третім входом реверсивного лічильника, вихідна шина буферного реєстра підключена до вхідної шини блока обробки сигналу, вихід якого з'єднаний з входом блока обчислень, вихід якого підключений до входу першого АЦП, вихідна шина якого з'єднана з другою вхідною шиною ПЗБ, вихід першого перетворювача напруга-частота підключений до входу блока обробки сигналу, вихід перетворювача частота-напруга з'єднаний з першим входом компаратора, другий вхід якого підключений до виходу джерела опорної напруги, а вихід з'єднаний з першими входами реверсивного лічильника, елемента АБО-HI та з входом інвертора, вихід якого підключений до других входів реверсивного лічильника та елемента АБО-HI, вихід якого з'єднаний з другим входом першого елемента I та з входом елемента HI, вихід дільника частоти підключений до другого входу другого елемента I, вихідна цифрова шина другого АЦП з'єднана з вхідною цифровою шиною першого реєстра, вихідна цифрова шина якого підключена до вхідної цифрової шини другого реєстра та до першої вхідної цифрової шини першого цифрового компаратора, друга вхідна цифрова шина якого з'єднана з вихідною цифровою шиною другого АЦП, а вихід підключений до другого входу третього елемента I, перший вхід якого разом з входом другого лічильника з'єднані з виходом перетворювача напруга-частота, вихід третього елемента I підключений до первого входу першого реєстра, другий вхід якого з'єднаний з виходом формувача сигналу, вхід якого разом зі входом другого реєстра підключений до виходу другого лічильника, вихідна цифрова шина другого реєстра з'єднана з вхідною цифровою шиною цифрового індикатора, вихідна цифрова шина другого АЦП підключена до ЕОМ.

35 Головним недоліком даного пристрою є те, що він не дозволяє визначати швидкість зростання температури в точці з найбільшим значенням температури досліджуваного об'єкта, що зважує функціональні можливості пристрою в задачі спостереження за станом об'єкта.

40 В основу корисної моделі поставлено задачу створення пристрою для безконтактного вимірювання температури, в якому за рахунок введення нових блоків та зв'язків між ними з'являється можливість визначати швидкість зростання температури в точці з найбільшим значенням температури досліджуваного об'єкта, що розширяє функціональні можливості пристрою.

45 Поставлена задача вирішується тим, що в пристрій для безконтактного вимірювання температури, що містить об'єктив, діафрагму, отвір якої являє собою сектор з вершиною на оптичній осі, дзеркало, виконане у вигляді конуса, прямолінійні твірні бокової конусної поверхні якого утворюють кут при вершині, менший ніж  $90^\circ$ , а прямолінійні твірні центральної конусної поверхні утворюють кут при вершині  $90^\circ$ , ІЧ-приймач, що являє собою набір ІЧ-сенсорів, розташованих на головній оптичній осі один за одним, приймальні площинки яких перпендикулярні головній оптичній осі, кроковий двигун, два перетворювачі напруга-частота, ЦАП, три елементи I, реверсивний лічильник, інвертор, компаратор, перетворювач частота-напруга, елемент HI, елемент АБО-HI, два лічильники, джерело опорної напруги, дільник частоти, блок обробки сигналу, буферний реєстр, комутатор, два АЦП, блок обчислень, ПЗБ, два керуючі підсилювачі, ВКБ, генератор напруги, що змінюються ступінчасто, два реєстри, перший цифровий компаратор та цифровий індикатор, причому виходи п'яти ІЧ-сенсорів ІЧ-приймача з'єднані з вхідними шинами буферного реєстра та перетворювача частота-напруга, вихідна шина реверсивного лічильника підключена до вхідної шини ЦАП, вихід якого з'єднаний з входом другого перетворювача напруга-частота, вихід якого підключений до крокового двигуна, вал якого зв'язаний з діафрагмою, вихід джерела опорної напруги підключений до входу першого перетворювача напруга-частота, вихід якого з'єднаний з другими входами ВКБ та другого АЦП, з першим входом комутатора та з входами генератора напруги, що змінюються

ступінчасто, та дільника частоти, вихід якого підключений до перших входів першого елемента I та буферного реєстра, вихід першого елемента I з'єднаний з першим входом першого лічильника, другий вхід якого підключений до виходу елемента HI, перший вхід другого елемента I з'єднаний з виходом елемента HI, вихід якого підключений до п'ятого входу ВКБ та до інших входів комутатора та буферного реєстра, вихідна шина якого з'єднана з вхідною шиною комутатора, вихід якого підключений до інших входів ВКБ та другого АЦП, вихідна шина першого лічильника з'єднана з першою вхідною шиною ПЗБ, перший і другий виходи якого підключенні, відповідно, до інших входів першого і другого керуючих підсилювачів, перші входи яких з'єднані з виходом генератора напруги, що змінюються ступінчасто, а виходи підключенні, відповідно, до третього і четвертого входів ВКБ, вихід другого елемента I з'єднаний з третім входом реверсивного лічильника, вихідна шина буферного реєстра підключена до вхідної шини блока обробки сигналу, вихід якого з'єднаний з входом блока обчисління, вихід якого підключений до входу першого АЦП, вихідна шина якого з'єднана з другою вхідною шиною ПЗБ, вихід першого перетворювача напруга-частота підключений до входу блока обробки сигналу, вихід перетворювача частота-напруга з'єднаний з першим входом компаратора, другий вхід якого підключений до виходу джерела опорної напруги, а вихід з'єднаний з іншими входами реверсивного лічильника, елемента АБО-HI та з входом інвертора, вихід якого підключений до інших входів реверсивного лічильника та елемента АБО-HI, вихід якого з'єднаний з другим входом першого елемента I та з входом елемента HI, вихід дільника частоти підключений до іншого входу другого елемента I, вихідна цифрова шина другого АЦП з'єднана з вхідною цифровою шиною першого реєстра, вихідна цифрова шина якого підключена до вхідної цифрової шини другого реєстра та до першої вхідної цифрової шини першого цифрового компаратора, друга вхідна цифрова шина якого з'єднана з вхідною цифровою шиною другого АЦП, а вихід підключений до другого входу третього елемента I, перший вхід якого разом з іншим входом другого лічильника з'єднані з виходом перетворювача напруга-частота, вихід третього елемента I підключений до першого входу першого реєстра, вхід другого реєстра підключений до першого виходу другого лічильника, вихідна цифрова шина другого реєстра з'єднана з вхідною цифровою шиною цифрового індикатора, вихідна цифрова шина другого АЦП підключена до ЕОМ, введено третій реєстр, цифровий суматор, блок задання температури, індикатор та другий цифровий компаратор, причому вихідна цифрова шина другого реєстра з'єднана з першою вхідною цифровою шиною цифрового суматора та зі вхідною цифровою шиною третього реєстра, вихідна цифрова шина якого підключена до другої вхідної цифрової шини цифрового суматора, вихідна цифрова шина якого з'єднана з другою вхідною цифровою шиною другого цифрового компаратора, перша вхідна цифрова шина якого підключена до вхідної цифрової шини блока задання температури, а вихід з'єднаний зі входом індикатора, вхід третього реєстра підключений до першого виходу другого лічильника, другий вхід якого з'єднаний з другим входом першого реєстра.

Пристрій для безконтактного вимірювання температури пояснюється кресленням, причому на фіг. 1 зображена оптична система пристроя, а на фіг. 2 - його структурна схема.

На фіг. 1 зображено: 1 - об'єкт контролю; 2 - об'єктив; 3 - діафрагма; 4 - дзеркало, виконане у вигляді конуса, прямолінійні твірні бокової конусної поверхні 4.1 якого утворюють кут при вершині, менший ніж  $90^\circ$ , а прямолінійні твірні центральної конусної поверхні 4.2 утворюють кут при вершині  $90^\circ$ ; 5 - інфрачервоний приймач, що являє собою набір ІЧ-сенсорів 5.1, 5.2, ... 5.n; 6 - кроковий двигун.

На структурній схемі (фіг. 2): 5 - інфрачервоний приймач, що являє собою набір ІЧ-сенсорів 5.1, 5.2, ... 5.n; 6 - кроковий двигун; 7 - другий перетворювач напруга-частота; 8 - цифроаналоговий перетворювач (ЦАП); 9 - другий елемент I; 10 - реверсивний лічильник; 11 інвертор; 12 - компаратор; 13 - перетворювач частота-напруга; 14 - елемент HI; 15 - елемент АБО-HI; 16 - перший елемент I; 17 перший лічильник; 18 - джерело опорної напруги; 19 - перший перетворювач напруга-частота; 20 - дільник частоти; 21 - блок обробки сигналу; 22 - буферний реєстр; 23 - комутатор; 24 - перший аналого-цифровий перетворювач (АЦП); 25 - блок обчисління; 26 - постійний запам'ятовуючий блок (ПЗБ); 27, 28 - перший і другий керуючі підсилювачі; 29 - відеоконтрольний блок (ВКБ); 30 - генератор напруги, що змінюється ступінчасто; 31 - другий лічильник; 32 - другий реєстр; 33 - цифровий індикатор; 34 - другий АЦП; 35 - третій елемент I; 36 - перший реєстр; 37 - перший цифровий компаратор; 38 - третій реєстр; 39 - блок задання температури; 40 - цифровий суматор; 41 - другий цифровий компаратор; 42 - індикатор, причому отвір діафрагми 3 являє собою сектор з вершиною на оптичній осі, дзеркало 4, виконане у вигляді конуса, прямолінійні твірні бокової конусної поверхні 4.1 якого утворюють кут при вершині, менший ніж  $90^\circ$ , а прямолінійні твірні центральної конусної поверхні 4.2 утворюють кут при вершині  $90^\circ$ , інфрачервоний приймач 5

являє собою набір ІЧ-сенсорів 5.1, 5.2, ... 5.n, розташованих на головній оптичній осі один за одним, приймальні площини яких перпендикулярні головній оптичній осі, виходи п ІЧ-сенсорів 5.1, 5.2, ... 5.n з'єднані з вхідними шинами буферного реєстра 22 та перетворювача частота-напруга 13, вихідна шина реверсивного лічильника 10 підключена до вхідної шини ЦАП 8, вихід якого з'єднаний з входом другого перетворювача напруга-частота 7, вихід якого підключений до крокового двигуна 6, вал якого зв'язаний з діафрагмою 3, вихід джерела опорної напруги 18 підключений до входу першого перетворювача напруга-частота 19, вихід якого з'єднаний з іншими входами ВКБ 29 та другого АЦП 34, з першим входом комутатора 23 та з входами генератора напруги, що змінюються ступінчасто, 30 і дільника частоти 20, вихід якого підключений до перших входів першого елемента I 16 та буферного реєстра 22, вихід першого елемента I 16 з'єднаний з першим входом першого лічильника 17, другий вихід якого підключений до виходу елемента HI 14, перший вихід другого елемента I 9 з'єднаний з виходом елемента HI 14, вихід якого підключений до п'ятого входу ВКБ 29 та до інших входів комутатора 23 та буферного реєстра 22, вихідна шина якого з'єднана з вхідною шиною комутатора 23, вихід якого підключений до перших входів ВКБ 29 та другого АЦП 34, вихідна шина першого лічильника 17 з'єднана з першою вхідною шиною ПЗБ 26, перший і другий вихіди якого підключені, відповідно, до інших входів першого 27 і другого 28 керуючих підсилювачів, перші входи яких з'єднані з виходом генератора напруги, що змінюються ступінчасто, 30, а вихіди підключені, відповідно, до третього і четвертого входів ВКБ 29, вихід другого елемента I 9 з'єднаний з третім входом реверсивного лічильника 10, вихідна шина буферного реєстра 22 підключена до вхідної шини блока обробки сигналу 21, вихід якого з'єднаний з входом блока обчислення 25, вихід якого підключений до входу першого АЦП 24, вихідна шина якого з'єднана з другою вхідною шиною ПЗБ 26, вихід першого перетворювача напруга-частота 19 підключений до входу блока обробки сигналу 21, вихід перетворювача частота-напруга 13 з'єднаний з першим входом компаратора 12, другий вихід якого підключений до виходу джерела опорної напруги 18, а вихід з'єднаний з іншими входами реверсивного лічильника 10, елемента АБО-HI 15 та з входом інвертора 11, вихід якого підключений до інших входів реверсивного лічильника 10 та елемента АБО-HI 15, вихід якого з'єднаний з іншим входом першого елемента I 16 та з входом елемента HI 14, вихід дільника частоти 20 підключений до другого входу другого елемента I 9, вихідна цифрова шина другого АЦП 34 з'єднана з вхідною цифровою шиною першого реєстра 36, вихідна цифрова шина якого підключена до вхідної цифрової шини другого реєстра 32 та до першої вхідної цифрової шини першого цифрового компаратора 37, друга вихідна цифрова шина якого з'єднана з вхідною цифровою шиною другого АЦП 34, а вихід підключений до другого входу третього елемента I 35, перший вихід якого разом з вхідом другого лічильника 31 з'єднані з виходом першого перетворювача напруга-частота 19, вихід третього елемента 135 підключений до першого входу першого реєстра 36, вихід другого реєстра 32 підключений до першого виходу другого лічильника 31, вихідна цифрова шина другого реєстра 32 з'єднана з вхідною цифровою шиною цифрового індикатора 33, вихідна цифрова шина другого АЦП 34 підключена до ЕОМ, вихідна цифрова шина другого реєстра 32 з'єднана з першою вхідною цифровою шиною цифрового суматора 40 та зі вхідною цифровою шиною третього реєстра 38, вихідна цифрова шина якого підключена до другої вхідної цифрової шини цифрового суматора 40, вихідна цифрова шина якого з'єднана з другою вхідною цифровою шиною другого цифрового компаратора 41, перша вихідна цифрова шина якого підключена до виходної цифрової шини блока задання температури 39, а вихід з'єднаний зі входом індикатора 42, вихід третього реєстра 38 підключений до першого виходу другого лічильника 31, другий вихід якого з'єднаний з іншим входом першого реєстра 36, позицією 1 позначене об'єкт контролю, позицією 2 - об'єктив.

Запропонований пристрій працює так. Потік інфрачервоного випромінювання, що створюється об'єктом контролю 1 (фіг. 1), попадає на об'єктив 2, що перетворює його у випромінювання з променями, спрямованими паралельно головній оптичній осі. Перетворений у такий спосіб потік інфрачервоного випромінювання попадає на діафрагму 3, що приводиться в рух кроковим двигуном 6.

Таким чином, на центральну частину 4.2 конусного дзеркала 4 попадає лише частина теплового зображення об'єкта контролю 1. Випромінювання, що пройшло через секторний діафрагмуючий отвір діафрагми 3, відбиваючись від дзеркальної поверхні 4.2 центральної частини, потім від бокової поверхні 4.1 дзеркала 4, приймається інфрачервоним приймачем 5. Теплове зображення розбивається на n частин, кожна з яких приймається окремим сенсором 5<sub>i</sub>, де i = 1, n. При обертанні діафрагми 3 навколо центра, що збігається з головною оптичною віссю, здійснюється сканування всього теплового поля об'єкта контролю 1. Розгортка є не безперервною, а дискретною за рахунок застосування крокового двигуна 6, що дозволяє

отримати інформацію про тепловий стан об'єкта контролю 1 у зручній для подальшої обробки формі (фіг. 1).

Пристрій має один режим роботи. Це визначається тим фактором, що швидкість розгортання теплового зображення на екрані ВКБ 29 (фіг. 2) у запропонованому пристрої є постійною (наприклад, 50 кадрів в секунду). Такий режим роботи обумовлений тим, що швидкість обертання діафрагми  $\omega_3$  підтримується більшою, ніж швидкість обертання сої об'єкта контролю 1 на  $\Delta\omega=\text{const}$  (наприклад,  $\Delta\omega=50 \text{ об/сек}$ ), не враховуючи величину  $\omega_1$  ( $\omega_1=0-\omega_{\max}$ , де  $\omega_{\max}$  - максимальна швидкість, при якій пристрій може нормальню функціонувати, а при  $\omega_1=0$  об'єкт контролю 1 нерухомий).

Підтримка  $\Delta\omega=\text{const}$  здійснюється за допомогою блоків 7-20. Здійснюється це в такий спосіб.

Нехай  $\omega_1=0$  (об'єкт контролю 1 - нерухомий), тоді на виході перетворювача частота-напруга 13 буде відсутній електричний сигнал, який подається на перший вхід компаратора 12. З виходу джерела опорної напруги 18 електричний сигнал, пропорційний  $\Delta\omega=\text{const}$ , надходить на другий вхід компаратора 12. На його виході з'являється сигнал логічної одиниці, який надходить на перший вхід реверсивного лічильника 10. На другому вході реверсивного лічильника 10 присутній сигнал логічного нуля, оскільки сигнал логічної одиниці з виходу компаратора 12 проходить через інвертор 11. Сигнали логічного нуля та одиниці з виходів, відповідно, інвертора 11 та компаратора 12 надходять на другий і перший входи елемента АБО-НІ 15, на виході якого з'являється сигнал логічного нуля. Сигнал логічного нуля з виходу елемента АБО-НІ 15 через елемент НІ 14 у вигляді сигналу логічної одиниці надходить на перший вхід другого елемента І 9. На другий вхід другого елемента І 9 надходять імпульси з виходу дільника частоти 20, оскільки на вхід останнього надходить сигнал з виходу джерела опорної напруги 18 через перший перетворювач напруга-частота 19. На виході другого елемента І 9 формуються імпульси, які надходять на третій вхід реверсивного лічильника 10, цифровий код на виході якого починає збільшуватись і надходить на вхід ЦАП 8, з виходу якого сигнал напруги подається на другий перетворювач напруга-частота 7, сигнал з виходу якого надходить на вхід крокового двигуна 6, вал якого зв'язаний з діафрагмою 3. Швидкість обертання крокового двигуна 6 починає зростати і при обертанні діафрагми 3 на виході перетворювача частота-напруга 13 сигнал збільшується також. В момент зрівняння сигналів на видах компаратора 12 на його виході встановлюється нульовий сигнал. На виході елемента АБО-НІ 15 з'являється сигнал логічної одиниці (на виході інвертора 11 присутній також нульовий сигнал), який через елемент НІ 14 закриває другий елемент І 9 та розблоковує роботу першого лічильника 17, буферного реєстра 22, комутатора 23 та ВКБ 29. Подача імпульсів в реверсивний лічильник 10 припиняється, а код, що записаний в ньому, забезпечує стало обертання діафрагми 3 зі швидкістю рівною швидкості розгортки (наприклад, так як  $\omega_1=0$ , то  $\omega_3=\Delta\omega=50 \text{ об/сек}$ ).

Нехай  $\omega_1\neq0$ , тобто об'єкт контролю 1 почав обертатися, значення сигналу напруги з виходу перетворювача частота-напруга 13 починає зменшуватись і стає меншим, ніж сигнал напруги на виході джерела опорної напруги 18. Пристрій працює аналогічно, описаному вище, доти, поки швидкість обертання діафрагми 3 не перевищить швидкість обертання об'єкта контролю 1 на величину  $\Delta\omega$  і не стабілізується.

Якщо швидкість обертання об'єкта контролю 1 зменшується, то на виході компаратора 12 з'являється напруга від'ємної полярності, на виході інвертора 11 встановлюється сигнал, яким реверсивний лічильник 10 запускається в напрямку зменшення записаного коду. Швидкість обертання крокового двигуна 6 зменшується до межі, доки різниця швидкостей обертання діафрагми 3 та об'єкта контролю 1 не досягне величини  $\Delta\omega$ .

Електричні сигнали, амплітуда яких пропорційна температурі  $\frac{360}{m} \text{ елементарних ділянок на поверхні об'єкта контролю 1}$ , таких ділянок може  $N=m \cdot n$ , де  $m = \frac{360}{\beta}$ , де  $\beta$  - мінімальний кут

повороту, що утворюється при подачі одного керуючого імпульсу на кроковий двигун 6, з виходів інфрачервоного приймача 5 надходять на входи  $\frac{1}{f}$  буферного реєстра 22, який запам'ятує інформацію в аналоговому вигляді на час  $\frac{360}{\beta f}$ . Запис в буферний реєстр 22

проводиться в момент надходження сигналу з виходу дільника частоти 20. Комутатором 23 здійснюється зчитування інформації з буферного реєстра 22 з наступним її перетворенням із паралельного виду представлення в послідовний.

Сформований таким чином сигнал з виходу комутатора 23 потрапляє на перший вхід ВКБ 29, а також на перший вхід другого АЦП 34, в якому він перетворюється в цифрову форму.

В момент, коли швидкості обертання діафрагми 3 та об'єкта контролю 1 стають сталими та згідно з корисною моделлю на величину  $\Delta\omega$  сигнали логічного нуля з виходів компаратора 12 та

інвертора 11 (компаратор 12 та інвертор 11 мають пороги чутливості) надходять, відповідно, на перший і другий входи елемента АБО-НІ 15. На виході останнього з'являється сигнал логічної одиниці, який надходить на другий вхід першого елемента I 16 та відкриває його. Імпульси з виходу дільника частоти 20 через відкритий перший елемент I 16 надходять на вхід першого лічильника 17, який починає відраховувати останні.

Генератор напруги, що змінюється ступінчасто, 30, перший 27 та другий 28 керовані підсилювачі і ПЗБ 26 призначенні для формування сигналів розгортай ВКБ 29. Сигнал частотою  $f_n$ , що надходить на вхід генератора напруги, що змінюється ступінчасто, 30, на виході приймає ступінчасту форму (містить  $n$  складових) і подається на входи першого 27 і другого 28 керованих підсилювачів, коефіцієнт підсилення яких задається вихідними сигналами ПЗБ 26. Коефіцієнти підсилення першого 27 та другого 28 керованих підсилювачів задаються так, що на їх виходах формуються сигнали, пропорційні  $R_i \sin \varphi_j$  та  $R_i \cos \varphi_j$ , відповідно, де  $R_i$  - радіус,  $\varphi_j$  - кут координат елементарної ділянки поверхні об'єкта контролю 1 в полярній системі координат.

$$i = \overline{0, n}, \quad j = \overline{0, m}.$$

На першу вхідну шину ПЗБ 26 сигнали надходять з першого лічильника 17, коефіцієнт перерахунку якого дорівнює  $t$ . В результаті на екрані ВКБ 29 при наявності одного інформаційного сигналу, двох сигналів розгортки та сигналу з виходу перетворювача напруга-частота 19 формується зображення, що відповідає тепловому полю об'єкта контролю 1.

У випадку, коли немає можливості сумістити оптичну вісь пристрою та геометричну вісь об'єкта контролю 1, тобто, коли спостереження проводиться під певним кутом до геометричної осі об'єкта контролю 1, його тепловий портрет спотворюється і на екрані ВКБ 29 замість теплового портрета, що відповідає концентричним колам, буде з'являтись еліпсоподібне зображення. Для компенсації такого спотворення пропонується наступний підхід.

Відомо, що рівняння еліпса у Декартовій системі координат має вигляд

$$\frac{x^2}{a^2} + \frac{y^2}{b^2} = 1, \quad (1)$$

де  $x$ ,  $y$  - горизонтальна і вертикальна осі системи координат,  $a$ ,  $b$  - горизонтальна і вертикальна півосі еліпса, відповідно, а  $R$ , де  $R$  - радіус кола контролюваного об'єкта.

Перейдемо у полярну систему координат, використавши формули

$$x = r \cdot \cos \varphi,$$

$$y = r \cdot \sin \varphi, \quad (2)$$

де  $r$  - "радіус" еліпса,  $\varphi$  - кут повороту радіуса  $r$ .

Підставимо (2) в (1) та отримаємо вираз

$$a = \frac{b \cdot r \cdot |\cos \varphi|}{\sqrt{b^2 - r^2 \cdot \sin^2 \varphi}}. \quad (3)$$

Отже, тепер, маючи в будь-який момент часу параметри кута повороту  $\varphi$  діафрагми, меншу піввісі еліпса  $b$  та відстань від центра еліпса до його краю ("радіус" еліпса), можна відновити реальний радіус спотвореного кола.

Це реалізовано в блоці обробки сигналу 21, який фіксує кут  $\varphi$ , параметри  $b$  і  $r$  та передає їх в блок обчислень 25, в якому за формулою (3) визначається дійсний радіус спотвореного кола.

Вихідний сигнал блока обчислень 25 за допомогою першого АЦП 24 перетворюється в цифровий код і надходить на другу вхідну шину ПЗБ 26, формуючи скориговані коефіцієнти підсилення першого 27 і другого 28 керованих підсилювачів, які відновлюють розмір зображення при його виведенні на ВКБ 29.

Слід відзначити, що доки різниця між  $\omega_3$  і  $\omega_1$  не дорівнює  $\Delta\omega = \text{const}$ , то сигнал логічного нуля з виходу елемента НІ 14 блокує роботу буферного реєстра 22, комутатора 23, першого лічильника 17 та ВКБ 29.

Визначення найбільш нагрітої точки об'єкта дослідження в процесі його роботи відбувається наступним чином. Послідовність сигналів з виходу комутатора 23 потрапляє на перший вхід

другого АЦП 34, в якому за сигналом з виходу першого перетворювача напруга-частота 19 здійснюється їх перетворення в цифровий код. По закінченню першого перетворення в першому цифровому компараторі 37 здійснюється порівняння цифрового коду з виходу другого АЦП 34 та нульового коду, записаного в першому реєстрі 36. На виході першого цифрового компаратора 37 з'являється сигнал логічної одиниці, яким відкривається третій елемент I 35 і за сигналом з виходу перетворювача напруга-частота 19 цифровий код з виходу другого АЦП 34 записується в перший реєстр 36. При черговому циклі аналогово-цифрового перетворення на виході другого АЦП 34 з'являється цифровий код, який порівнюється з кодом, записаним в першому реєстрі 36. І якщо цифровий код на виході другого АЦП 34 перевищує код, записаний в першому реєстрі 36, то відбувається перезапис коду в перший реєстр 36. Таким чином в процесі аналогово-цифрового перетворення сигналів, що відповідають температурі різних точок об'єкта дослідження, в першому реєстрі 36 зберігається код, що відповідає найвищій температурі об'єкта дослідження. По завершенню повного оберту досліджуваного об'єкта на першому виході другого лічильника 31, коефіцієнт ділення якого дорівнює N, з'являється імпульс, яким інформація з першого реєстра 36 переписується в другий реєстр 32 та виводиться на цифровий індикатор 33. По завершенню зазначеного імпульсу на другому виході другого лічильника 31 з'являється короткий імпульс, яким перший реєстр 36 обнуляється.

Зазначимо, що цифровий код, який відповідає тепловому портрету досліджуваного об'єкта, з виходу другого АЦП 34 передається в ЕОМ для подальшої обробки.

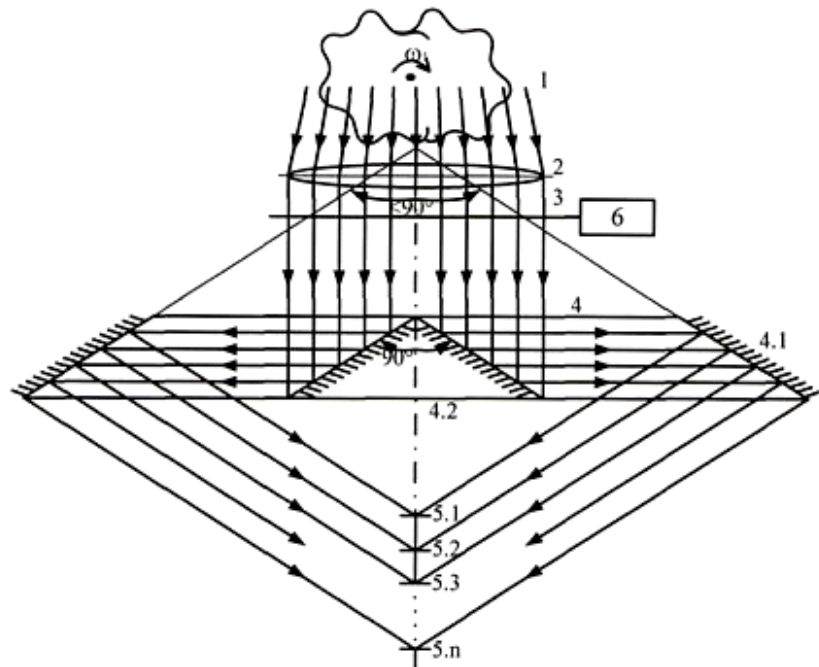
Контроль за швидкістю наростання температури в точці з найвищою температурою досліджуваного об'єкта здійснюється таким чином.

В момент, коли за сигналом з першого виходу другого лічильника 31 інформація з першого реєстра 36 переписується в другий реєстр 32, та інформація, що зберігалась в другому реєстрі 32 цим же сигналом з другого реєстра 32 переписується в третій реєстр 38. Внаслідок цього в цифровому суматорі 40 обчислюється різниця цифрових кодів, що відповідають найвищій температурі в поточний момент часу (цифровий код записаний в другий реєстр 32), та найвищої температури, яка мала місце при попередньому повному оберті в процесі сканування температурного поля об'єкта контролю 1 і зберігається в третьому реєстрі 38. Зазначена різниця кодів і являє собою швидкість зміни температури, яка у вигляді цифрового коду надходить в другий цифровий компаратор 41 і порівнюється з цифровим кодом, що записаний в блоці задання температури 39. У разі перевищення останнього коду на виході другого цифрового компаратора 41 з'являється сигнал, яким вмикається індикатор 42 і оперативний персонал приймає рішення про технічний стан ізоляції об'єкта контролю 1 та можливість його подальшої експлуатації.

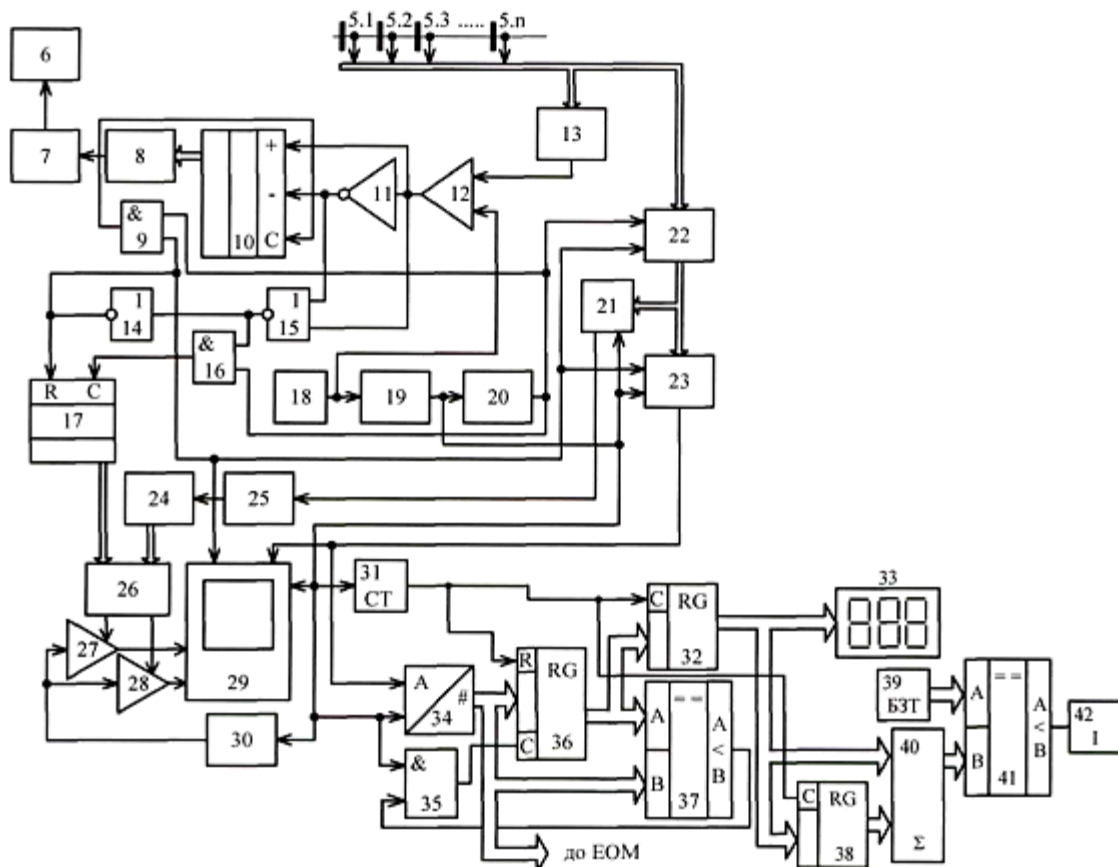
## 35 ФОРМУЛА КОРИСНОЇ МОДЕЛІ

Пристрій для безконтактного вимірювання температури, що містить об'єктив, діафрагму, отвір якої являє собою сектор з вершиною на оптичній осі, дзеркало, виконане у вигляді конуса, прямолінійні твірні бокової конусної поверхні якого утворюють кут при вершині, менший ніж  $90^\circ$ , а прямолінійні твірні центральної конусної поверхні утворюють кут при вершині  $90^\circ$ , інфрачервоний приймач, що являє собою набір інфрачервоних сенсорів, розташованих на головній оптичній осі один за одним, приймальні площини яких перпендикулярні головній оптичній осі, крковий двигун, два перетворювачі напруга-частота, цифро-аналоговий перетворювач, три елементи I, реверсивний лічильник, інвертор, компаратор, перетворювач частота-напруга, елемент HI, елемент АБО-HI, два лічильники, джерело опорної напруги, дільник частоти, блок обробки сигналу, буферний реєстр, комутатор, два аналогово-цифрові перетворювачі, блок обчислення, постійний запам'ятовуючий блок, два керуючі підсилювачі, відеоконтрольний блок, генератор напруги, що змінюється ступінчасто, два реєстри, перший цифровий компаратор та цифровий індикатор, причому виходи п інфрачервоних сенсорів інфрачервоного приймача з'єднані з вхідними шинами буферного реєстра та перетворювача частота-напруга, вихідна шина реверсивного лічильника підключена до вхідної шини цифро-аналогового перетворювача, вихід якого з'єднаний з входом другого перетворювача напруга-частота, вихід якого підключений до кркового двигуна, вал якого з'язаний з діафрагмою, вихід джерела опорної напруги підключений до входу першого перетворювача напруга-частота, вихід якого з'єднаний з другими входами відеоконтрольного блока та другого аналогово-цифрового перетворювача, з першим входом комутатора та з входами генератора напруги, що змінюються ступінчасто, та дільника частоти, вихід якого підключений до перших входів першого елемента I та буферного реєстра, вихід першого елемента I з'єднаний з першим входом першого лічильника, другий вхід якого підключений до виходу елемента HI, перший вхід другого

елемента I з'єднаний з виходом елемента HI, вихід якого підключений до п'ятого входу відеоконтрольного блока та до других входів комутатора та буферного реєстра, вихідна шина якого з'єднана з вхідною шиною комутатора, вихід якого підключений до перших входів відеоконтрольного блока та другого аналого-цифрового перетворювача, вихідна шина першого лічильника з'єднана з першою вхідною шиною постійно запам'ятовуючого блока, перший і другий виходи якого підключенні, відповідно, до других входів першого і другого керуючих підсилювачів, перші входи яких з'єднані з виходом генератора напруги, що змінюється ступінчасто, а виходи підключенні, відповідно, до третього і четвертого входів відеоконтрольного блока, вихід другого елемента I з'єднаний з третім входом реверсивного лічильника, вихідна шина буферного реєстра підключена до вхідної шини блока обробки сигналу, вихід якого з'єднаний з входом блока обчисління, вихід якого підключений до входу першого аналого-цифрового перетворювача, вихідна шина якого з'єднана з другою вхідною шиною постійно запам'ятовуючого блока, вихід першого перетворювача напруга-частота підключений до входу блока обробки сигналу, вихід перетворювача частота-напруга з'єднаний з першим входом компаратора, другий вхід якого підключений до виходу джерела опорної напруги, а вихід з'єднаний з першими входами реверсивного лічильника, елемента АБО-HI та з входом інвертора, вихід якого підключений до других входів реверсивного лічильника та елемента АБО-HI, вихід якого з'єднаний з другим входом першого елемента I та з входом елемента HI, вихід дільника частоти підключений до другого входу другого елемента I, вихідна цифрова шина другого аналого-цифрового перетворювача з'єднана з вхідною цифровою шиною першого реєстра, вихідна цифрова шина якого підключена до вхідної цифрової шини другого реєстра та до першої вхідної цифрової шини першого цифрового компаратора, друга вихідна цифрова шина якого з'єднана з вхідною цифровою шиною другого аналого-цифрового перетворювача, а вихід підключений до другого входу третього елемента I, перший вхід якого разом з входом другого лічильника з'єднані з виходом перетворювача напруга-частота, вихід третього елемента I підключений до першого входу першого реєстра, вихід другого реєстра підключений до першого виходу другого лічильника, вихідна цифрова шина другого реєстра з'єднана з вхідною цифровою шиною цифрового індикатора, вихідна цифрова шина другого аналого-цифрового перетворювача підключена до ЕОМ, який **відрізняється** тим, що введено третій реєстр, цифровий суматор, блок задання температури, індикатор та другий цифровий компаратор, причому вихідна цифрова шина другого реєстра з'єднана з першою вхідною цифровою шиною цифрового суматора та зі вхідною цифровою шиною третього реєстра, вихідна цифрова шина якого підключена до другої вхідної цифрової шини цифрового суматора, вихідна цифрова шина якого з'єднана з другою вхідною цифровою шиною другого цифрового компаратора, перша вихідна цифрова шина якого підключена до вихідної цифрової шини блока задання температури, а вихід з'єднаний зі входом індикатора, вихід третього реєстра підключений до першого виходу другого лічильника, другий вихід якого з'єднаний з другим входом першого реєстра.



Фіг. 1



Фіг. 2

Комп'ютерна верстка Л. Ціхановська

ДО "Український національний офіс інтелектуальної власності та інновацій", вул. Дмитра Годзенка, 1, м. Київ – 42, 01601